

Дніпропетровський національний університет
імені Олеся Гончара

СОСРЕДОТОЧЕНІ ПО РЕАЛЬНИМ ПРОБЛЕМАМ ПІДСІЧІ
ВІДКРИТОГО ВІДДІЛУ

МЕТОДИ РОЗВ'ЯЗУВАННЯ ПРИКЛАДНИХ ЗАДАЧ МЕХАНІКИ ДЕФОРМІВНОГО ТВЕРДОГО ТІЛА

МЕТОДЫ РЕШЕНИЯ ПРИКЛАДНЫХ ЗАДАЧ МЕХАНИКИ
ДЕФОРМИРУЕМОГО ТВЕРДОГО ТЕЛА

METHODS OF SOLVING APPLIED PROBLEMS
IN SOLIDS MECHANICS

Збірник наукових праць

13

випуск

Дніпропетровськ

Ліра

2012 рік

Хасе-етос іззи

СГУС, Азатто иштәвә

Методи розв'язування прикладних задач механіки деформівного твердого тіла: зб. наук. праць / ред. кол.: А. П. Дзюба (відл. ред.) та ін. – Дніпропетровськ: Ліра, 2012. – Вип. 13. – 460 с. Рос., укр. та англ. мовами.

Наведені нові результати досліджень у галузі механіки деформівного твердого тіла. Основна увага приділена питанням розробки та удосконалення математичних моделей, методів теоретичного і експериментального дослідження та застосування сучасних комп'ютерних технологій для розв'язування актуальних прикладних задач.

Для наукових співробітників, інженерів-механіків та аспірантів.

Збірник внесено до Переліку наукових фахових видань України, в яких можуть публікуватися результати дисертаційних робіт на здобуття наукових ступенів доктора і кандидата наук (технічні науки (механіка деформівного твердого тіла) – постанова президії ВАК України від 16 грудня 2009 р. № 1-05/6; фізико-математичні науки (механіка) – постанова президії ВАК України від 01 липня 2010 р. № 1-05/5).

Рекомендовано до друку Вченому радою Дніпропетровського національного університету імені Олеся Гончара (протокол № 10 від 31 березня 2011 р.).

РЕДАКЦІЙНА КОЛЕГІЯ:

д-р техн. наук, проф. А. П. Дзюба (відл. редактор); канд. техн. наук, с.н.с. Ю. М. Селіванов (відл. секретар); д-р техн. наук, проф. Ю. С. Воробйов; канд. фіз.-мат. наук, доц. О. О. Бобильов; д-р техн. наук, проф. В. З. Грищак; д-р техн. наук, проф., чл.-кор. НАНУ В. С. Гудрамович; д-р техн. наук, проф. М. М. Дронь; д-р техн. наук, проф. О. С. Каїров; д-р фіз.-мат. наук, проф. В. І. Кузьменко; д-р техн. наук, проф. В. М. Левін; д-р фіз.-мат. наук, проф. В. В. Лобода; д-р техн. наук, проф. А. І. Маневич; д-р техн. наук, проф. Н. І. Ободан; д-р фіз.-мат. наук, проф. А. М. Пасічник; д-р техн. наук, проф., чл.-кор. НАН України О. В. Пилипенко; д-р фіз.-мат. наук, проф. А. К. Приварников; д-р фіз.-мат. наук, проф. О. А. Приходько; д-р фіз.-мат. наук, проф. С. О. Смирнов; д-р фіз.-мат. наук, проф. П. О. Стеблянко; д-р фіз.-мат. наук, проф. Ю. А. Черняков

Рецензенти: д-р техн. наук, проф. В. О. Бараненко.

д-р фіз.-мат. наук, проф. О. А. Зевін,

Адреса редколегії:

49010, м. Дніпропетровськ, пр. Гагаріна, 72,

Дніпропетровський національний університет ім. Олеся Гончара, корп. 3, кімн. 41.,
e-mail: comptech@ua.fm

Свідоцтво про державну реєстрацію друкованого засобу масової інформації
КВ № 8831 від 03.06.2004 р.

ISSN 2079-536X

© Дніпропетровський національний університет імені Олеся Гончара, 2012.

© Автори статей, 2012

<i>Гришин В. А., Гришина В. А., Рейт В. В., Рейт Е. В.</i>	106
Исследование интенсивности напряжений в пластинчатой конструкции с трещинами под действием изгибающей нагрузки	
<i>Гутыря С. С., Хомяк Ю. М.</i>	114
Круговая трещина в плоскости сцепления трансверсально-изотропных полупространств	
<i>Дзюба А. П., Селиванов Ю. М.</i>	121
Некоторые подходы к решению проблемы рационального распределения материала тонкостенных структур	
<i>Довжик М. В., Назаренко В. М.</i>	131
Разрушение при сжатии вдоль трещины, для малых расстояний между свободной поверхностью и трещиной	
<i>Долгих А. В., Приварников А. К.</i>	137
Смешанная задача теории упругости для многослойного основания с частично упруго закреплённой границей	
<i>Дородных Т. И.</i>	144
Совместные процессы повреждаемости и деформирования хрупких материалов	
<i>Дырда В. И., Лисица Н. И., Новикова А. В., Гребенюк С. Н., Козуб Ю. Г., Бова А. А.</i>	152
Определение напряженно-деформированного состояния резинометаллических сейсмоаппор	
<i>Дьяченко Н. М., Манько Н. И.-В., Шашкова Е. В.</i>	159
Задача контакта квадратного в плане штампа с шероховатым полупространством в условиях частичного проскальзывания	
<i>Зашкільняк І. М., Костенко І. С., Николишин Т. М., Ростун М. Й.</i>	169
Предельное равновесие изготовленной из функционально градиентного материала цилиндрической оболочки с двумя поверхностными трещинами	
<i>Заяц В. И., Новикова О. С.</i>	179
Решение задачи о тепловом деформировании упругой пластины в ультрасферических многочленах	
<i>Зеленський А. Г.</i>	188
Метод зниження порядку неоднорідних диференціальних рівнянь із частинними похідними	
<i>Киричевский Р. В., Донченко В. Ю.</i>	197
Численная сходимость решений с использованием трёхмерных конечных элементов с линейной аппроксимацией в программном комплексе MIRELA+	
<i>Клименко А. А., Михлин Ю. В.</i>	204
Нелинейные нормальные формы колебаний маятниковых систем	

<i>Ковальчук П. С., Янчевский И. В.</i>	212
Управление радиальными колебаниями толстостенного сферического пьезокерамического излучателя	
<i>Козуб Ю. Г., Козуб Г. А.</i>	224
Численный анализ динамического деформирования вязкоупругих элементов конструкций	
<i>Кузьо I. В., Корендей В. М.</i>	231
Деформації лопатей вітроколеса при згині	
<i>Куралов С. В., Чеченя В. С.</i>	237
Математическая модель упругой системы на основе рисунка графа	
<i>Куренніов С. С.</i>	245
Динамические напряжения в клеевом соединении с консолью на основе модели Голанда – Рейсснера	
<i>Левада В. С., Хижняк В. К., Левицкая Т. И.</i>	254
Изгиб полубесконечной анизотропной пластины с шарниро-опертим краем, находящейся под действием сосредоточенной нагрузки	
<i>Луньо Н. Б.</i>	260
Контактна взаємодія двох півпросторів з початковими (залишковими) напруженнями і пружного циліндричного штампу	
<i>Максимчук Д. М.</i>	266
Контакт двух сплюснутих кінечних циліндрів і пружного шару з початковими (залишковими) напруженнями	
<i>Меркотан Г. В., Шамровський О. Д.</i>	272
Динамічна задача поширення термопружних хвиль в однорідній пластині	
<i>Михальчук А. И., Кузьменко В. И.</i>	280
Вариационная формулировка контактной задачи адгезионного движения	
<i>Николаев А. Г., Танчик Е. А.</i>	287
Трехмерная периодическая модель зернистого композиционного материала	
<i>Николишин М. М., Опанасович В. К., Куротчин Л. Р., Слободян М. С.</i>	294
Знаходження довжини пластичних зон біля вершини наскрізної тріщини на прямолінійній межі поділу матеріалів при розтязі кусково-однорідної ізотропної пластини	
<i>Оксенчук Н. Д.</i>	301
Напруженено-деформований стан сталевого циліндра при тепловому опроміненні та врахуванні мікроструктурних перетворень	
<i>Ольшанский В. П., Ольшанский С. В.</i>	309
Расчет напряжений в цилиндрическом стержне при крутильном ударе	

Павленко А. В., Кагайдій Т. С., Балог Ю. Г., Голінин М. Д. О биказевоцівід
свіданнях щодо зваження функціональної функції відносно відомих параметрів
гравітаційної анатропії

Перепелкин М. В., Міщенко І. В., Міщенко В. А. відомості про відомості про
математичні методи та інтерфейси вимірювань та обробки даних в експерименті
ротора на квантіфікованій вимірювальній стенді

Наукове видання

Рубинчик О. М. Розширення вимірювань та обробки даних в експерименті

Алгоритмизація високих порядків вимірювальних стендів математичної
механіки

МЕТОДИ РОЗВ'ЯЗУВАННЯ ПРИКЛАДНИХ ЗАДАЧ МЕХАНІКИ ДЕФОРМІВНОГО ТВЕРДОГО ТІЛА

Солов'єв А. І., Шербаков Ю. А. Методи розв'язування прикладних задач механіки
деформованого твердого тіла

Сабко Е. Е. Методи розв'язування прикладних задач механіки
деформованого твердого тіла

Гашевський В. В. Методи розв'язування прикладних задач механіки
деформованого твердого тіла

Солов'єв А. І., Шербаков Ю. А. METHODS OF SOLVING APPLIED PROBLEMS
IN SOLIDS MECHANICS

Математичне моделювання та обробка даних вимірювань та обробки даних
складних конструкцій при експериментальних дослідженнях

Солов'єв А. І., Шербаков Ю. А. О чекеторих хранити та теорії упругості для фізичного
пластичності

Збірник наукових праць, 2012, вип. 13

Сулим Г. Т., Гавланюк А., Прокопів А. І. Одновимірний рух плоскопаралельного шару з жорстко
закріпленою основою при

Коректор Л. М. Машталір

Тамурова Г. Комп'ютерна верстка О. Г. Василенко, І. А. Сафонова

Гладенький В. А. Структура та функції комп'ютерної верстки

За підтримки Оргкомітету IV Міжнародної науково-технічної конференції
«Актуальні проблеми прикладної механіки і міцності конструкцій»

Хімічні та фізичні методи вивчення твердих тіл

Підписано до друку з оригіналу макету 25.04.2012, Формат 60×84 1/16. Папір
друкарський. Друк плоский. Умов. друк. арк. 28,75. Тираж 100 прим. Замовлення № 141

Свідоцтво про внесення до державного реєстру суб'єктів видавничої справи
Порядок внесення до реєстру суб'єктів видавничої справи

ДП №14 від 13.07.2000.

Слов'єв А. І. Типографія «Ліра», 49038, Україна, м. Дніпропетровськ, пл. Десантників, 1,
тел. (056)721-92-60,721-92-63, E-mail: liraLtd@ukr.net

Учет геометрической истиности и ее коррекции в задачах

сплошной среды

2012

УДК-539.3

В. И. Дырда, д-р техн. наук, Н. И. Лисица, канд. техн. наук,
А. В. Новикова, С. Н. Гребенюк, канд. техн. наук,
Ю. Г. Козуб, канд. физ.-мат. наук, А. А. Бова

ОПРЕДЕЛЕНИЕ НАПРЯЖЕННО-ДЕФОРМИРОВАННОГО СОСТОЯНИЯ РЕЗИНОМЕТАЛЛИЧЕСКИХ СЕЙСМООПОР

В статье приведены результаты расчета резинометаллической сейсмоопоры используемой в качестве элемента вибровиброзащиты многоэтажных жилых домов. Проведено сравнение результатов расчета, полученных приближенными аналитическими методами и методом конечных элементов, с экспериментальными данными для образцов сейсмических опор.

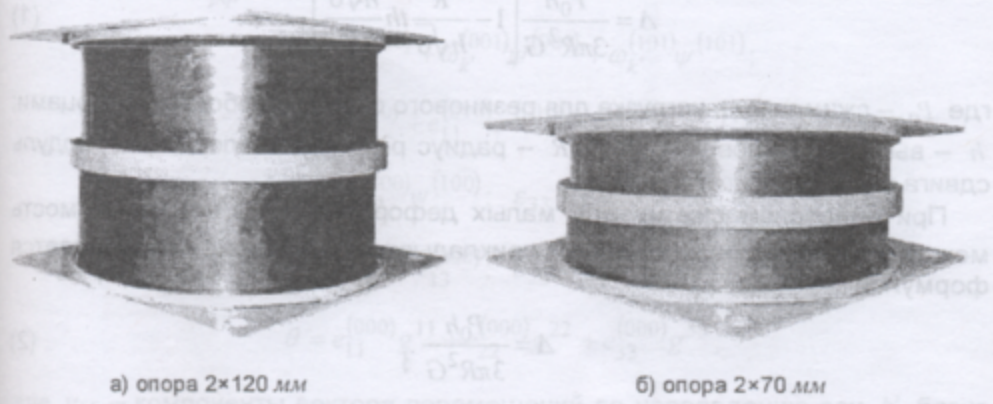
Ключевые слова: резинометаллический виброизолятор, осадка, моментная схема конечного элемента, нагрузка, сжатие.

Введение. Защита зданий, сооружений, инфраструктурных объектов от пагубного воздействия землетрясений является актуальной, ввиду того, что значительная часть населения земного шара проживает на сейсмоактивных территориях. Традиционные системы сейсмозащиты обеспечивают сейсмостойкость объектов путем повышения несущей способности конструкций их соединений, стимулируя создание более прочных, жестких и монолитных сооружений. При этом стоимость строительства в сейсмических районах в сравнении с несейсмическими увеличивается на 4 – 12% в зависимости от бальности. Применение нетрадиционных систем вибровиброзащиты позволяет обеспечить сохранность зданий и сооружений при землетрясениях и техногенных воздействиях, при этом снижается сметная стоимость строительства на 3 – 6%, а трудоемкость – на 4 – 6%; уменьшается материалоемкость зданий и сооружений на 5 – 10%; расширяется область применения типовых конструкций путем застройки районов с повышенной сейсмичностью; увеличивается высоты здания при использовании тех же конструкций.

К наиболее перспективным из нетрадиционных способов вибровиброзащиты можно отнести применение вибровиброзащитных блоков на основе резинометаллических конструкций. По многим параметрам – простоте изготавления, надежности, габаритам, стоимости и др., такие конструкции превосходят традиционные системы того же назначения. Они позволяют наладить принципиально новые конструктивные решения ответственных узлов современных технических систем. Анализ мировой практики вибровиброзащиты машин, зданий и сооружений показывает, что системы с использованием именно резинометаллических блоков являются наиболее перспективными с точки зрения стоимости и эффективности. Указанные системы вибровиброзащиты позволяют защитить машины и здания при сейсмических

воздействиях не только в горизонтальной и вертикальной плоскостях, но и от кручения. Считается, что именно кручение в сочетании с неблагоприятными факторами, в частности с вертикальной составляющей толчков, является основной причиной катастрофических разрушений при землетрясениях. Кроме того, применение резинометаллических слоистых виброизоляторов позволяет защитить здания и находящихся в них людей от воздействий метрополитена, автомобильного и железнодорожного транспорта [5].

Такими вибровесмозаизоляторами, предназначенными для сейсмозащиты многоэтажных жилых домов, являются двухслойные сейсмоопоры, разработанные Институтом геотехнической механики им. Н. С. Полякова НАН Украины и Государственным научно-исследовательским институтом строительных конструкций (рис. 1).



а) опора 2×120 мм

б) опора 2×70 мм

Рис. 1 – Двухслойные сейсмоопоры

Определение параметров напряженно-деформированного состояния (НДС) резиновых виброизоляторов является ответственной и сложной задачей ввиду специфики механических свойств резины. Задаче определения осадки резиновых элементов, работающих на сжатие, посвящены работы Э. Э. Лавенделя [8], С. И. Дымникова [3], В. Л. Бидермана, Н. А. Суховой [1, 11]. Определение НДС резиновых деталей с помощью метода конечных элементов изложено в работах В. В. Киричевского [7], В. М. Малькова [9].

Определение НДС. Определение параметров НДС сейсмоопор (осадка, прикладываемая нагрузка и т.д.) возможно различными методами – экспериментальными, эмпирическими, приближенными аналитическими, численными – каждый из которых имеет свои достоинства и недостатки и которые в совокупности дают возможность получить объективные сведения о деформировании конструкции.

Для представленных выше сейсмоопор в ходе статических испытаний была определена жесткость на сжатие при различной величине нагрузки [5]. В результате несложных пересчетов можно определить зависимость между

точкой контакта и контактной и контактной в сечении осадкой опоры и прикладываемой нагрузкой (весом строительной конструкции), используя формулу

$$\Delta = \frac{P}{C_{\text{смв}}},$$

где Δ – осадка сейсмоопоры; P – сжимающая нагрузка; $C_{\text{смв}}$ – вертикальная жесткость сейсмоопоры.

С другой стороны, в работе [6] для малых деформаций ($\varepsilon < 0,1$) методом Ритца получена аналитическая зависимость между осадкой цилиндрического резинового слоя со свободными торцами и прикладываемой нагрузкой:

$$\Delta = \frac{P_0 h}{3\pi R^2 G} \left[1 - \frac{R}{h\sqrt{6}} t h \frac{h\sqrt{6}}{R} \right], \quad (1)$$

где P_0 – сжимающая нагрузка для резинового слоя со свободными торцами; h – высота резинового слоя; R – радиус резинового слоя; G – модуль сдвига резины.

При одноосном сжатии для малых деформаций ($\varepsilon < 0,1$) зависимость между осадкой резинового слоя и прикладываемой нагрузкой определяется формулой

$$\Delta = \frac{P_0 h}{3\pi R^2 G}, \quad (2)$$

При расчете сейсмоопор необходимо учитывать, что торцы резинового слоя привулканизированы к металлическим пластинам, тогда в формулы (2) и (3) вместо нагрузки P_0 необходимо подставить скорректированное значение реальной нагрузки P , которое учитывает увеличение жесткости за счет закрепления торцов:

$$P_0 = \frac{P}{\beta}, \quad (3)$$

где $\beta = 1 + 0,413\rho^2$ – по Пейну; $\beta = 0,92 + 0,5\rho^2$ – по Лавенделу.

В работе [6] предложено вычислять β по формуле:

$$\beta = 1 + 0,83\rho^2, \quad (4)$$

где $\rho = \frac{R}{h}$; β – коэффициент увеличения жесткости за счет закрепления торцов.

Универсальным численным методом расчета резиновых вибровибраторов, который позволяет учитывать несимметричность нагрузок и за-

креплений, а также получать полную картину НДС, является метод конечных элементов (МКЭ). При этом традиционный МКЭ не позволяет учесть такое свойство резины, как слабая сжимаемость материала, поэтому воспользуемся специально разработанной схемой МКЭ – моментной схемой конечного элемента (МСКЭ) для слабосжимаемых материалов [7]. Данная схема заключается в тройной аппроксимации компонент вектора перемещений, компонент тензора деформаций и функции изменения объема и удержании ряда слагаемых согласно определенным правилам. Для призматического конечного элемента треугольной формы эти аппроксимации принимают вид [4]:

$$u_{k'} = \sum_{pqr}^{lmn} \omega_{k'}^{(pqr)} \psi^{(pqr)} = \omega_{k'}^{(000)} + \omega_{k'}^{(100)} \psi^{(100)} + \omega_{k'}^{(010)} \psi^{(010)} +$$

$$+ \omega_{k'}^{(110)} \psi^{(110)} + \omega_{k'}^{(001)} \psi^{(001)} + \omega_{k'}^{(101)} \psi^{(101)},$$

$$\varepsilon_{11} = e_{11}^{(000)} + e_{11}^{(010)} \psi^{(010)} + e_{11}^{(001)} \psi^{(001)},$$

$$\varepsilon_{22} = e_{22}^{(000)} + e_{22}^{(100)} \psi^{(100)}; \quad \varepsilon_{33} = e_{33}^{(000)} + e_{33}^{(100)} \psi^{(100)},$$

$$\varepsilon_{12} = e_{12}^{(000)}; \quad \varepsilon_{13} = e_{13}^{(000)}; \quad \varepsilon_{23} = e_{23}^{(000)} + e_{23}^{(100)} \psi^{(100)},$$

$$\theta = e_{11}^{(000)} g^{11} + e_{22}^{(000)} g^{22} + e_{33}^{(000)} g^{33},$$

где $u_{k'}$ – компоненты вектора перемещений по направлению оси k' базисной системы координат; ε_{ij} – компоненты тензора деформаций; θ – функция изменения объема; l, m, n – максимальные степени аппроксимирующих полиномов относительно осей местной системы координат x_1, x_2, x_3 ; g^{ij} – компоненты метрического тензора; $\omega_{k'}^{(pqr)}$ – коэффициенты разложения перемещений; $e_i^{(pqr)}$ – коэффициенты разложения деформаций; $\psi^{(pqr)}$ – набор степенных координатных функций вида:

$$\psi^{(pqr)} = \frac{(x_1)^p}{p!} \frac{(x_2)^q}{q!} \frac{(x_3)^r}{r!}.$$

Для повышения точности расчетов используют уточненные схемы МСКЭ [2].

Найдем осадку Δ для двухслойной сейсмоопоры диаметром $d = 400$ мм, высотой резинового слоя $h = 240$ мм и модулем упругости $G = 0,63$ МПа от действия нагрузки $P = 50$ кН.

В работе [6] решение нелинейной задачи осадки сплошного цилиндра с учетом особенностей ужесточения на торцах было найдено численно методом Рунге–Кутта четвертого порядка точности. Для этого необходимо было решить задачу Коши при определенных граничных условиях. В результате расчетов было получено значение осадки сейсмоизолятора $\Delta = 0,0127$ м, что хорошо совпадает с экспериментальными исследованиями [10].

Поставленная задача также была численно реализована на основе моментной схемы конечных элементов в рамках вычислительного комплекса «МИРЕЛА+». На рис. 2 приведено распределение компонент тензора напряжений в сейсмоопоре.

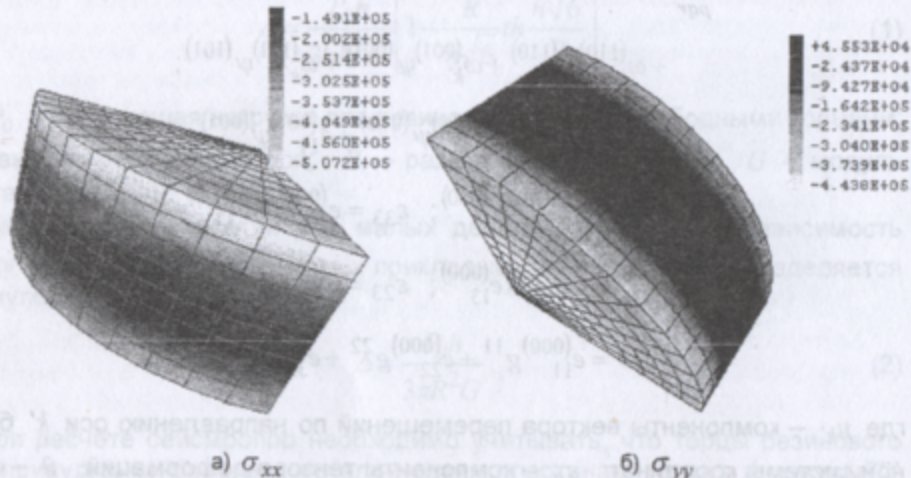


Рис. 2 – Распределения нормальных напряжений по сейсмоопоре

Проведем расчет осадки, используя формулы (1) и (2), с коэффициентом ужесточения β , определяемым по формуле (4). В рассматриваемом случае

$$\beta = 1 + 0,83 \left(\frac{R}{h} \right)^2 = 1 + 0,83 \cdot \left(\frac{200 \cdot 10^{-3}}{120 \cdot 10^{-3}} \right)^2 \approx 2,38$$

Подставим полученное значение в формулу (3):

$$P_0 = \frac{P}{\beta} = \frac{50 \cdot 10^3}{2,38} \approx 21 \text{ кН}$$

Найдем осадку одного слоя сейсмоопоры по формуле (1):

$$\Delta = \frac{21 \cdot 10^3 \cdot 0,12}{3 \cdot 3,14 \cdot (0,2)^2 \cdot 6,3 \cdot 10^5} \cdot \left[1 - \frac{0,2}{0,12\sqrt{6}} \frac{0,12\sqrt{6}}{0,2} \right] \approx 0,0042 \text{ м.}$$

Далее, рассчитаем осадку одного слоя сейсмоопоры по формуле (2):

$$\Delta = \frac{P_0 h}{3\pi R^2 G} \approx \frac{0,0126 \cdot (120 \cdot 10^{-3})}{3 \cdot 3,14 \cdot (200 \cdot 10^{-3})^2 \cdot 6,3} \approx 0,0064 \text{ м.}$$

Все полученные результаты расчета осадки рассматриваемой сейсмоопоры приведены в табл. 1.

Таблица 1 – Результаты расчета осадки сейсмоопоры

Показатель	Способ расчета осадки		
	экспериментальные исследования	формулы	
		(1)	(2)
Осадка (максимальный прогиб резинового элемента), м	0,012	0,0084	0,0128
			0,01128

Выводы. Таким образом, наиболее точный результат получается при использовании формулы (2), однако данная формула не дает целостной картины распределения параметров НДС сейсмоопоры в отличие от численного подхода на основе метода конечных элементов и метода Ритца.

БИБЛИОГРАФИЧЕСКИЕ ССЫЛКИ

1. Бидерман В. Л. Расчет цилиндрических и прямоугольных длинных резиновых амортизаторов сжатия / В. Л. Бидерман, Н. А. Сухова // Расчеты на прочность. – 1968. – №13. – С. 55 – 72.
2. Гребенюк С. Н. Повышение точности моментной схемы конечного элемента для слабосжимаемых материалов / С. Н. Гребенюк, А. А. Бова // Современные проблемы и пути их решения в науке, транспорте, производстве и образовании. – 2009. – Т. 22. – С. 55 – 64.
3. Дымников С. И. Расчет резинотехнических деталей при средних деформациях / С. И. Дымников // Механика полимеров. – 1968. – № 2. – С. 271 – 275.
4. Дырда В. И. Аналитические и численные методы расчета резиновых изделий / В. И. Дырда, С. Н. Гребенюк, С. И. Гоменюк. – Днепропетровск-Запорожье: Запорожский национальный университет, 2012. – 370 с.
5. Дырда В. И. Обоснование и выбор параметров резинометаллических сейсмоопор / [В. И. Дырда, Н. И. Лисица, Н. Г. Марьенко и др.] // Геотехническая механика. – 2009. – Вып. 84. – С. 17 – 23.
6. Дырда В. И. Решение задачи о сжатии вязкоупругого цилиндра методом Ритца / В. И. Дырда, А. В. Гончаренко, Л. В. Жарко // Геотехническая механика. – 2010. – Вып. 86. – С. 113 – 124.
7. Киричевский В. В. Метод конечных элементов в механике эластомеров: монография / В. В. Киричевский. – К.: Наук. думка, 2002. – 655 с.
8. Лавендел Э. Э. Расчет резинотехнических изделий / Э. Э. Лавендел. – М.: Машиностроение, 1976. – 232 с.
9. Мальков В. М. Механика многослойных эластомерных конструкций: [монография] / В. М. Мальков. – СПб : Изд-во СПбГУ, 1998. – 320 с.

10. Обосновать параметры, разработать конструкцию, изготовить и испытать в лабораторных условиях виброзащитные опоры для сейсмозащиты многоэтажного дома (г. Ялта): Информационный отчет о НИР ИГТМ НАН Украины; рук. В. И. Дырда, исполн. Н. И. Лисица и др. – Днепропетровск, 2008. – 44 с. – Изв. № 6875.

11. Сухова Н. А. К расчету резиновых амортизаторов, работающих на сжатие / Н. А. Сухова, В. Л. Бидерман // Расчеты на прочность. – 1962. – № 8. – С. 200–211.

Інститут геотехніческої механіки НАНУ,

Дніпропетровськ, Україна,

Запорізький національний університет,

Запоріжжя, Україна,

Луганський національний університет

імені Тараса Шевченка,

Луганськ, Україна

Поступила в редколлегию 02.03.2012

Б. І. Дирда, д-р техн. наук, Н. І. Лисиця, канд. техн. наук,
А. В. Новікова, С. М. Гребенюк, канд. техн. наук,
Ю. Г. Козуб, канд. фіз.-мат. наук, А. А. Бова

ВІЗНАЧЕННЯ НАПРУЖЕНО-ДЕФОРМОВАНОГО СТАНУ ГУМОВОМЕТАЛЕВИХ СЕЙСМООПОР

У статті наведені результати розрахунку гумометалевої сейсмоопори, яка використовується як елемент вібросейсмозахисту багатоповерхових житлових будинків. Проведено порівняння результатів розрахунків, отриманих наближеними аналітичними методами та методом скінчених елементів, з експериментальними даними для зразків сейсмічних опор.

Ключові слова: гумометалевий віброізолятор, осад, моментна схема скінченної елементу, наванташлення, стиск.

V. I. Dyrda, Professor, N. I. Lisitsa, Associate Professor,
A. V. Novikova, S. N. Grebenyuk, Associate Professor,
Y. G. Kozub, Associate Professor, A. A. Bova

DETERMINATION OF THE STRESS-STRAIN STATE OF RUBBER-METAL SEISMIC BEARING

The results of calculation of the rubber-metal seismic bearing used as an element of vibro-seismic protection of multistory dwelling buildings are considered in the paper. Authors compare results obtained by the use of approximate analytical methods, finite elements method and experimental data for the samples of seismic bearing.

Keywords: rubber-metal vibroinsulator, sinking, finite element moment scheme, loading, compression.